

# О ПОСТРОЕНИИ КОВАРИАЦИОННОЙ ФУНКЦИИ АНОМАЛЬНОГО ПОЛЯ

В [1, 2] рассмотрена возможность устойчивой аппроксимации возмущающего потенциала  $T$  Земли набором потенциалов точечных масс (разложение  $T$  по фундаментальным решениям уравнения Лапласа) с использованием метода регуляризации А. Н. Тихонова. В качестве стабилизатора решения выбран квадрат нормы потенциала  $T$ , представляемого суммой потенциалов точечных масс, получено его общее выражение на гильбертовом пространстве  $H_2^q(G_B)$  с воспроизводящим ядром и найдены замкнутые соотношения для упомянутой нормы в случае известных в литературе воспроизводящих ядер.

Для построения упомянутого стабилизатора предпринята попытка определения численных значений шестигардметрического ядра (для  $q=2,5$ ) по известной наблюдательной информации. При этом учитывалось то, что в соответствии с теоремой Рунге-Краупа, доставляющей теоретическое обоснование современных методов решения задач физической геодезии, аппроксимируемая функция  $T$  определена на несимметричном множестве  $G$  точек (вне поверхности  $\tau$  Земли), а аппроксимирующая функцию  $T$  последовательность потенциалов — на симметричном множестве  $G_B$  точек (вне сферы Бьерхамара) трехмерного евклидова пространства  $R_3$ .

I. Будем рассматривать [3, 4] в  $G_B$  множество  $X_0$  гармонических и регулярных на бесконечности функций. В практике физической геодезии используются [4, 10] гильбертовы пространства  $H_2^q(G_B)$ , которые представляют собой пересечение гармонических в  $G_B$  и регулярных на бесконечности функций с соболевским пространством  $W_2^q(G_B)$ . Под  $X_q$  будем понимать [4] множество гармонических в  $G_B$  и регулярных на бесконечности функций из  $X_0$ , для которых норма, соответствующая скалярному произведению пространства  $H_2^q(G_B)$ , конечна.

Так как каждой точке  $Q \in G_B$  с координатами  $(x, y, z)$  соответствует антиподная точка  $\tilde{Q} \in G_B$  с координатами  $(-x, -y, -z)$ , то область  $G_B$  естественно рассматривать как симметричное относительно начала координат \* множество точек, за счет чего любая

\* Полагаем, что начало системы координат, центр сферы Бьерхамара и центр инерции планеты расположены в одной точке.

функция  $U \in X_q$  может единственным образом быть представлена в виде суммы

$$U(Q) = U^+(Q) + U^-(Q) \quad (1)$$

четной  $U^+$  и нечетной  $U^-$  функций, причем

$$\begin{aligned} U^+(Q) &= \frac{1}{2} [U(Q) + U(\tilde{Q})]; \\ U^-(Q) &= \frac{1}{2} [U(Q) - U(\tilde{Q})]. \end{aligned} \quad (2)$$

Таким образом, только из симметрии области  $G_B$  определения изучаемых гармонических функций уже следует принципиальная возможность выделения на  $X_q$  с помощью (2) подмножества  $X_q^+$  четных и подмножества  $X_q^-$  нечетных гармонических функций. Дальнейшее изучение гармонических функций (четных и нечетных), которые таким естественным образом связаны с центральной симметрией области определения  $G_B$  функций из  $X_q$ , привели [3] к формулировке следующих достаточно очевидных утверждений:

1. Любые две гармонические вне сферы Бьерхаммера и регулярные на бесконечности функции  $U^+$  и  $V^-$ , одна из которых четная  $U^+ \in X_q^+$ , а вторая  $V^- \in X_q^-$  — нечетная, ортогональны в  $H_2^q(G_B)$ .

2. Гильбертово пространство  $H_2^q(G_B)$  разлагается в ортогональную сумму подпространств  $H_q^+$  и  $H_q^-$

$$H_2^q = H_q^+ \oplus H_q^- \quad (3)$$

соответственно четных и нечетных функций из  $H_2^q(G_B)$ . При этом, если  $K_q(P, Q)$  ( $P, Q$  — точки из  $G_B$ ) — воспроизводящее ядро  $H_2^q$ , то

$$K^q(P, Q) = K_q^+(P, Q) + K_q^-(P, Q), \quad (4)$$

где  $K_q^+$  и  $K_q^-$  — соответственно воспроизводящие ядра подпространств  $H_q^+$  и  $H_q^-$ . В таком случае

$$\begin{aligned} K_q^+(P, Q) &= \frac{1}{2} [K^q(P, Q) + K^q(P, \tilde{Q})]; \\ K_q^-(P, Q) &= \frac{1}{2} [K^q(P, Q) - K^q(P, \tilde{Q})], \end{aligned} \quad (5)$$

где  $\tilde{Q}$  — точка, антиподная точке  $Q$ .

Теперь введем в рассмотрение две сферы  $\sigma_1, \sigma_2$  радиуса  $R_1$  и  $R_2$  (для определенности примем  $R_1 < R_2$ ), центры которых совпадают с началом системы координат, а сами сферы находятся

внутри поверхности Земли. Дальнейший интерес представляют множества  $X_q(G_1)$  и  $X_q(G_2)$  гармонических в  $G_1$  и  $G_2$  и регулярных на бесконечности функций, соответствующие гильбертовы пространства  $H_2^q(G_1)$ ,  $H_2^q(G_2)$  и следующие утверждения [3].

3. Множества  $X_q^+(G_1)$  и  $X_q^-(G_1)$  являются всюду плотными подмножествами соответственно множеств  $X_q^+(G_2)$  и  $X_q^-(G_2)$ .

4. Множества  $X_q^+(G_i)$  и  $X_q^-(G_i)$  ( $i=1, 2$ ) являются всюду плотными (по метрике пространства  $H_2(G_i)$ ) подмножествами соответственно множеств  $X_{q-1}^+(G_i)$  и  $X_{q-1}^-(G_i)$  ( $i=1, 2$ ).

Перечисленные утверждения позволяют заключить, что имеется принципиальная возможность построения воспроизводящего ядра  $K^q(P, Q)$ , характеризуемого в общем [3, 4] асимптотикой  $\{k_n^q = c_q/n^{2q-2}\}_{n=0}^\infty$  ( $c_q = \text{const}$ ) в виде суммы воспроизводящих ядер  $K_q^+(P, Q)^{R_1}$  и  $K_q^-(P, Q)^{R_2}$ , что в их разложении по шаровым функциям могут фигурировать не только различные значения  $R_1, R_2$  радиуса сферы Бьерхамара, но и различные модели асимптотик  $\{k_{2l}^\alpha\}_{l=0}^\infty$  ( $\alpha = q$ ),  $\{k_{2l+1}^\beta\}_{l=0}^\infty$  ( $\beta = q$ ), причем не обязательно, чтобы  $\alpha < \beta$ . Так, если  $\alpha < \beta$ , причем разность  $(\beta - \alpha)$  представляет собой целое положительное число, то справедливо представление соответствующего воспроизводящего ядра  $K^\alpha(P, Q)$  в форме

$$K^\alpha(P, Q) = K_\alpha^+(P, Q)^{R_1} + K_\alpha^-(P, Q)^{R_2}. \quad (6)$$

II. Воспроизводящее ядро  $K^q(P, Q)$  гильбертова пространства  $H_2^q$  можно интерпретировать ковариационной функцией возмущающего потенциала [4, 10]. При этом последовательность чисел  $\{k_n^q\}$  должна наилучшим образом представлять спектр эмпирических степенных дисперсий  $d_n$  геопотенциала, а  $K^q(P, Q) = K^q(\psi = 0)$  согласовано с общим значением дисперсии  $D$  поля. Такое воспроизводящее ядро считают оптимальным [4, 6], так как выбор последнего обеспечивает минимум средней квадратической ошибки аппроксимации. Следует отметить также, что на практике, как правило, принято [5, 10] строить ковариационную функцию аномалий силы тяжести, что, впрочем, не имеет принципиального значения, так как знание модельной  $C(\psi)$  позволяет аналитически получать ковариации других трансформант гравитационного поля.

Перейдем к определению модельной ковариационной функции  $K^q(P, Q) = K^q(\psi)$  для изучения глобального гравитационного поля, под которым далее понимаем такую его аппроксимацию, которая с необходимой точностью описывает движение геодезических спутников (ИСЗ). Использование при аппроксимации геопотенциала по спутниковым наблюдениям модельных «точечных» ковариационных функций, построенных для целей физической геодезии [5, 8, 11], не является окончательным решением задачи. Так, последние характеризуются значением  $C(\psi = 0) = C_0 \approx 1800 \cdot 10^{-10} \text{ м}^2/\text{с}^4$ , что соответствует точечной дисперсии поля

аномалий силы тяжести, т. е. дисперсии детального гравитационного поля Земли, и накладывает определенные условия на асимптотику убывания модельных степенных дисперсий  $c_n$  (или  $d_n$ ). Учитывая большое удаление от поверхности планеты геодезических спутников, можно сказать, что в этом случае изучению подлежит более сглаженное поле, которому будет соответствовать меньшая дисперсия  $C_0$  (на поверхности Земли) и, возможно, иной закон убывания степенных дисперсий. Построение ковариационной функции такого сглаженного поля можно, в принципе, свести к использованию оператора сглаживания (см. [4, 7, 11]) в известных глобальных ковариационных функциях «точечного» поля. Однако, поскольку на практике приходится иметь дело с различной по сглаженности информацией, желательно вместо одной «универсальной» получить модельные ковариационные функции именно с учетом их целевого назначения.

Последнее особенно полезно для практической реализации алгоритма устойчивой аппроксимации геопотенциала методом регуляризации с использованием системы неортогональных базисных функций, в частности системы потенциалов точечных масс [1, 2].

Такой подход обеспечит возможность получения замкнутых выражений, что затруднительно при наличии оператора сглаживания, для стабилизаторов решения, соответствующих различной по степени сглаженности информации о гравитационном поле Земли. В результате можно вместо обращения некоторой ковариационной матрицы, стабилизирующей решение, вычислять с помощью замкнутых выражений из [2], непосредственно обратную ковариационную матрицу, минуя тем самым ряд теоретических трудностей, связанных со второй моделью среднеквадратической коллокации. Кроме того, построение ковариационной функции типа (6) позволит обеспечить стабилизацию четной и нечетной составляющих, аппроксимирующих в сумме геопотенциал.

Согласно приведенным выше исследованиям о возможности представления воспроизводящего ядра в форме (6), модельную  $C_M(P, Q)$  ковариационную функцию аномалий  $\Delta g$  силы тяжести запишем в виде

$$C_M(P, Q) = C_1^+(P, Q) + C_2^-(P, Q). \quad (7)$$

Отметим, что из анализа гравитационного поля по спутниковым и наземным данным было установлено несколько подходящих моделей [10, 11], аппроксимирующих «эмпирическую» асимптотику  $c_n$  степенных дисперсий  $\Delta g$ . Ниже мы воспользуемся моделью Черпинга--Раппа [11], что соответствует воспроизводящему ядру  $K^q(P, Q)$ , если  $q=2,5$ . При этом получим

$$C_1^+(P, Q) = A_1 \sum_{k=2}^{\infty} \frac{(2k-1)}{(2k-2)(2k+B_1)} \left( \frac{R_1}{r_P r_Q} \right)^{2k+2} P_{2k}(\cos \phi);$$

$$C_2^-(P, Q) = A_2 \sum_{k=1}^{\infty} \frac{2k}{(2k-1)(2k+1+B_2)} \left( \frac{R_2^2}{\rho_P \rho_Q} \right)^{2k+1} P_{2k+1}(\cos \phi), \quad (8)$$

где параметры  $(A_1, B_1, R_1)$ ,  $(A_2, B_2, R_2)$  подлежат определению  $(B_1, B_2$  — целые числа).

Легко видеть с учетом (5), что последние соотношения можно записать и так:

$$\begin{aligned} C_1^+(P, Q) &= C_1^+(s_1, t) = \frac{1}{2} [C_M(s_1, t) + C_M(s_1, -t)], s_1 = \left( \frac{R_1^2}{\rho_P \rho_Q} \right); \\ C_2^-(P, Q) &= C_2^-(s_2, t) = \frac{1}{2} [C_M(s_2, t) - C_M(s_2, -t)], s_2 = \left( \frac{R_2^2}{\rho_P \rho_Q} \right), \end{aligned} \quad (9)$$

где модельная  $C_M(P, Q) = C_M(s, t)$  конариационная функция определяется с помощью известного замкнутого выражения [11], вследствие чего и запись (9) мы можем считать результатом суммирования рядов (8).

Отметим на основании (9) для вычисления дисперсий четной  $C^+(\psi=0)$  и нечетной  $C^-(\psi=0)$  составляющих поля на сфере среднего радиуса  $R_e (s = R_2^2/R_e^2)$  следующие соотношения:

$$\begin{aligned} C^+(\psi=0) &= \frac{1}{2} [C_M(\psi=0) + C_M(\psi=\pi)]; \\ C^-(\psi=0) &= \frac{1}{2} [C_M(\psi=0) - C_M(\psi=\pi)]. \end{aligned} \quad (10)$$

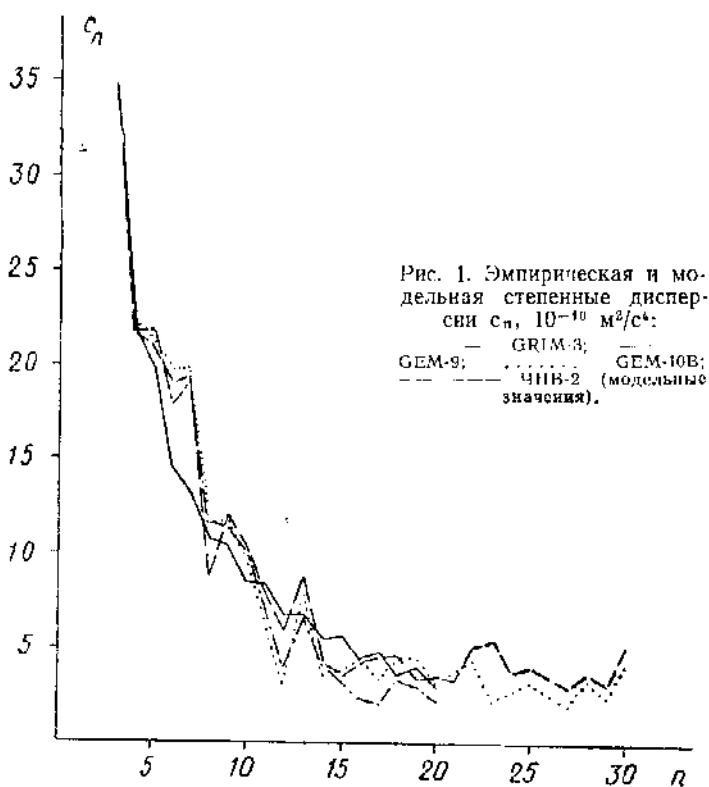
Замкнутое выражение для  $C^+(\psi=0)$  приведено в [5]. Учитывая (10), имеет смысл получить замкнутое соотношение и для ковариации  $C_M(\psi=\pi)$ . Отметим здесь лишь, что последнее можно представить (после выполнения всех преобразований) в следующей форме:

$$\begin{aligned} C_M(\psi=\pi) = -A \left[ \frac{s^4 + (-1)^B (B+1) s^{2-B}}{B+2} \ln(1+s) + \right. \\ \left. + \frac{B+1}{B+2} \sum_{n=1-B}^2 (-1)^n \frac{s^{n+2}}{n+B} \right], \end{aligned} \quad (11)$$

причем в качестве параметров  $(A, B, s)$  могут фигурировать введенные ранее величины  $(A_i, B_i, s_i)$ ,  $i=1, 2$ .

Для вычисления «эмпирических значений» степенных дисперсий выбрано спутниковое решение GEM-9, дающее на практике надежные результаты. Отметим также, что для вычисления орбит ИСЗ успешно используются и такие модели геопотенциала, которые получены из комбинаций спутниковых наблюдений, средних значений  $\Delta g$  и высот геоида. Наиболее согласованные результаты

получены, как показывает практика (например, решения GEM-10, GEM-10B), при использовании аномалий силы тяжести, сглаженных по трапециям  $5 \times 5^\circ$ , в частности значений  $\Delta g$  [9]. Поэтому ниже с учетом целевого назначения модельной функции использовалась не точечная дисперсия, а ее значение, соответствующее данным о сглаженных  $\Delta g$  по [9] трапеции  $5 \times 5^\circ$ , равное



$\approx 232,5 \cdot 10^{-10} \text{ м}^2/\text{с}^4$  после исключения степенной дисперсии  $c_2 \approx 7,4 \cdot 10^{-10} \text{ м}^2/\text{с}^4$  второго порядка, принятого здесь в соответствии с [9]. На основании оценочного значения конвариации  $C(\phi=\pi) \approx 37,4 \cdot 10^{-10} \text{ м}^2/\text{с}^4$  при выводе также использовались вычисленные по (10) дисперсии  $C^+(\phi=0) \approx 97,55 \cdot 10^{-10} \text{ м}^2/\text{с}^4$  четной и  $C^-(\phi=0) \approx 134,95 \cdot 10^{-10} \text{ м}^2/\text{с}^4$  нечетной составляющих аномального поля. После просчета ряда вариантов было выбрано решение (названное нами ЧНВ-2), параметры которого приведены ниже:

$A_1$	$A_2$	$B_1$	$B_2$	$s_1$	$s_2$
$405,84 \cdot 10^{-10} \text{ м}^2/\text{с}^4$	$345,83 \cdot 10^{-10} \text{ м}^2/\text{с}^4$	15	13	0,93990	0,95365

Среднеквадратическое отклонение  $m_e$  модельных степенных дисперсий от таковых для решения GEM-9 составляет  $2,48 \times$

$\times 10^{10}$  м<sup>2</sup>/с<sup>4</sup>. Для сравнения отметим, что  $m_c$  для шестипараметрической модели  $2L$  из [5] другого типа (предложенной в [8] для целей физической геодезии) составляет  $2,81 \cdot 10^{-10}$  м<sup>2</sup>/с<sup>4</sup>, а для трехпараметрической модели [11] (при ее сравнении с решением GEM-9) —  $6,28 \cdot 10^{-10}$  м<sup>2</sup>/с<sup>4</sup>. Полученное хорошее согласие модельных (по ЧНВ-2) и эмпирических степенных дисперсий иллюстрируется на рис. 1.

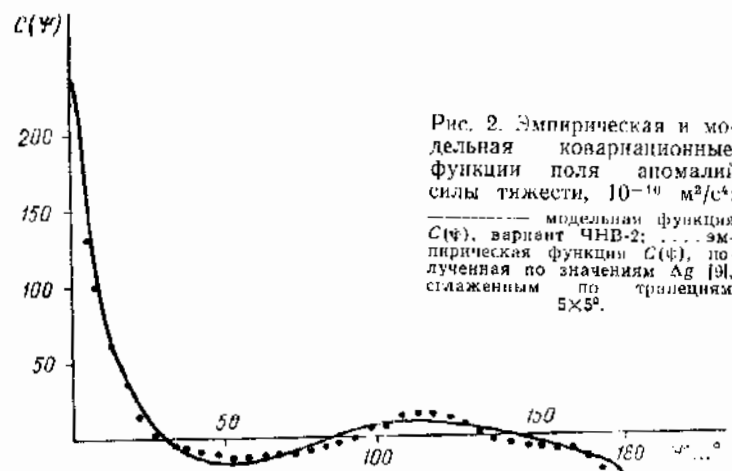


Рис. 2. Эмпирическая и модельная ковариационные функции поля аномалий силы тяжести, 10<sup>-10</sup> м<sup>2</sup>/с<sup>4</sup>:

— модельная функция  $C(\phi)$ , вариант ЧНВ-2; . . . . . эмпирическая функция  $C(\phi)$ , полученная по значениям  $Ag$  [9], склоненным по трапециям  $5 \times 5^\circ$ .

Найденные из уравнивания параметры позволили с помощью соотношений (9) и незначительно видоизмененной подпрограммы COVA [11] получить модельную ковариационную функцию  $C(\phi)$ , представленную на рис. 2. На нем показаны эмпирические значения ковариаций  $Ag$ , рассчитанные на основании усредненных по трапециям  $5 \times 5^\circ$  аномалий силы тяжести [9].

Кроме того, на рис. 3 представлены эмпирическая (по данным спутниковой альтиметрии GEOS-3) и модельная (по ЧНВ-2) ковариационные функции высот геоида. Их согласие представляется особенно существенным фактом, который хорошо иллюстрирует качества ядра ЧНВ-2: последнее получено без использования измерительных данных о высотах геоида.

На рис. 4 для сравнения представлены значения степенных дисперсий  $s_n$ , рассчитанных по «правилу Каулы», модели Чернинга-Раппа, модели  $2L$  Джексона и полученной в данной работе модели ЧНВ-2. Последняя характеризуется следующими особенностями:

наилучшим представлением в количественном отношении эмпирических степенных дисперсий  $s_n$  низких порядков;

наибольшей скоростью «затухания» значений  $s_n$  в зависимости от увеличения порядка  $n$ , что связано с целевым назначением ядра ЧНВ-2 именно для устойчивой аппроксимации глобального гравитационного поля Земли;

соответствующие значениям параметров  $s_1$  и  $s_2$  радиусы  $R_1$  и  $R_2$  оказались значительно меньше ( $R_1=6176,6$  км,  $R_2=6221,6$  км), чем значение радиуса сферы Бьерхамара, определяемое по информации о точечных значениях  $\Delta g$  (например, по данным [11]  $R_b=6369,8$  км).

Таким образом, использование представления воспроизводящего ядра в виде (7), (8) как следствие учета симметрии области определения гармонических сфер Бьерхамара функций позволяет улучшить не только количественные, но и качественные модельные представления как степенных дисперсий геопотенциала, так и ковариаций  $C(\psi)$ , а значит, других трансформант гравитационного поля Земли. Например, график распределения  $s_n$  в соответствии с моделью GEM-10C, усеченной до 180-го порядка, представляет собой ломаную линию, причем степень «изломанности» наиболее велика при малых  $n$  и  $n < 60$  и значительно уменьшается при  $n \rightarrow 180$ . Аналогичную картину (правда более сглаженную) мы наблюдаем (см. рис. 4) при рассмотрении графика значений  $s_n$ , полученных в соответствии с моделью ЧНВ-2.

Найденные здесь значения  $R_1$  и  $R_2$  имеют важное практическое приложение при построении глобальных точечных моделей геопотенциала. Согласно [2], точечные массы, сумма потенциалов которых аппроксимирует четную и нечетную составляющие гравитационного поля Земли, должны находиться внутри сфер указанных радиусов, что обеспечит постоянную требуемую гладкость решения.

Отметим также, что представленная в работе методика определения параметров воспроизводящего ядра в дальнейшем потребует возможных уточнений. При этом желательно такое изменение стандартной разграфки для «средних» значений аномалий силы тяжести, которое дало бы возможность разделения (в стоксовом приближении) значений  $\Delta g$  на четную и нечетную, относительно центра инерции, составляющие и позволило бы не только более точно, чем в данной работе, оценить значения ковариаций  $C(\psi=\pi)$ ,

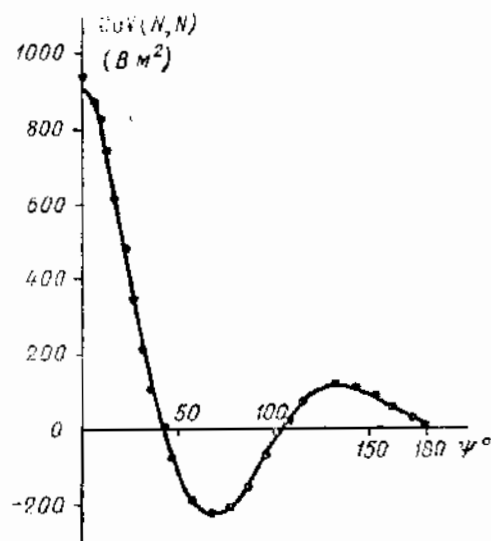


Рис. 3. Эмпирическая и модельная ковариационные функции  $\text{cov}(N, N)$  высот геонида, м<sup>2</sup>:

— модельная функция по ЧНВ-2;  
-. . . . . эмпирическая функция, полученная по значениям высот геонида  $N$  из альтиметрических данных, усредненных по трапециям  $5 \times 5$ .

$C^+(\psi=0)$  и  $C^-(\psi=0)$ , но и получить эмпирические  $C^+(\psi)$  и  $C^-(\psi)$  для  $0 \leq \psi \leq \pi$  с целью их применения для уточнения модели.

Наконец, приведем некоторые соотношения для вычисления степенных дисперсий аномалий силы тяжести, моделируемых совокупностью дискретных точечных масс. Если воспользоваться описанием возмущающего потенциала  $T$  и далее аномалий силы тяжести  $\Delta g$  некоторой системой  $N$  точечных масс, то после раз-

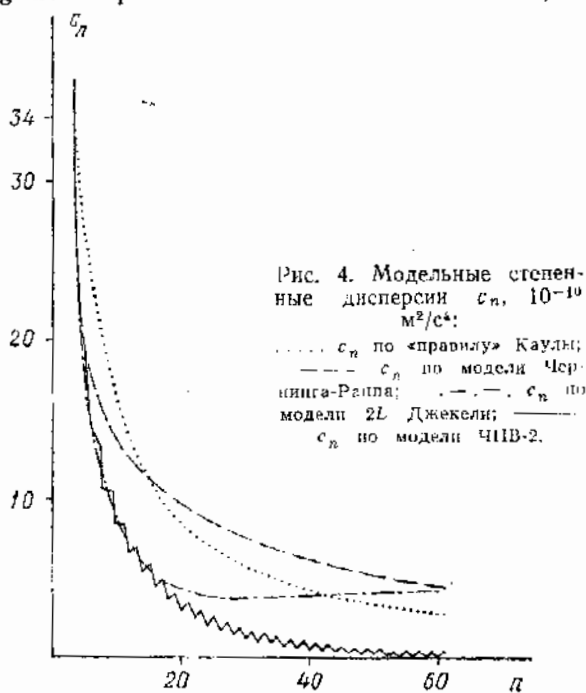


Рис. 4. Модельные степенные дисперсии  $c_n, 10^{-10} \text{ м}^2/\text{с}^4$ :  
 .....  $c_n$  по «правилу» Каудса;  
 - - -  $c_n$  по модели Чиннингса-Рапра; . . . . .  $c_n$  по модели  $2L$  Джекели; —  $c_n$  по модели ЧИВ-2.

ложения «обратных расстояний»  $1/r_i$  в ряд шаровых функций найдем соответствующие выражения для степенных дисперсий

$$c_n = \frac{(n-1)^2}{R_e^4(2n+1)} \sum_{i=1}^N \sum_{j=1}^N \mu_i \mu_j \left( \frac{d_i d_j}{R_e^2} \right)^n P_n(\cos \phi_{ij}) \quad (12)$$

и ковариационной функции

$$C(P, Q) = \sum_{n=1}^{\infty} \frac{(n-1)^2}{R_e^4(2n+1)} \left[ \sum_{i=1}^N \sum_{j=1}^N \mu_i \mu_j \times \right. \\ \left. \times \left( \frac{d_i d_j}{R_e^2} \right)^n P_n(\cos \phi_{ij}) \right] \left( \frac{R_e^2}{\rho_P \rho_Q} \right)^{n+2} P_n(\cos \phi_{P, Q}), \quad (13)$$

аномалий силы тяжести, описываемых системой точечных масс. Здесь  $\mu_i, \mu_j$  — значения  $i$ -й и  $j$ -й точечных масс;  $d_i, d_j$  — расстоя-

ния до них от начала координат;  $\psi_{ij}$  — сферическое расстояние между  $i$ -й и  $j$ -й массами;  $R_e$  — средний радиус Земли;  $P, Q$  — внешние точки, для которых вычисляется ковариация  $C(P, Q)$ .

Легко видеть теперь, что выражение (13) имеет более сложную структуру, чем таковое при использовании разложения по сферическим гармоникам. Это обусловлено исортогональностью базисных функций  $\{1/r_i\}$ , по которым возможно разложение  $T$ . Более того, последнее существенно усложняет и нахождение ковариаций  $\text{cov}(\mu_i, \mu_j)$  между коэффициентами  $\mu_i, \mu_j$ , что позволило бы использовать для устойчивого определения  $\mu_i$  традиционную схему метода среднеквадратической коллокации. Расчеты показывают, что задачу определения  $\text{cov}(\mu_i, \mu_i)$  можно свести к обращению определенной матрицы, однако значения получаемых ковариаций  $\text{cov}(\mu_i, \mu_i)$  существенно зависят от ее размерности ( $N \times N$ ). Значительно проще, отказавшись от вычисления  $\text{cov}(\mu_i, \mu_i)$ , воспользоваться алгоритмом из [1, 2] и применить в нем параметры воспроизводящего ядра ЧНВ-2 при аппроксимации гравитационного потенциала в глобальном масштабе.

**Список литературы:** 1. Марченко А. Н. О построении моделей точечных масс геопотенциала вариационным методом. — Геодезия, картография и аэрофотосъемка, 1983, вып. 37. 2. Марченко А. Н. О стабилизаторах для построения многоточечной модели геопотенциала вариационным методом. — Геодезия, картография и аэрофотосъемка, 1983, вып. 37. 3. Марченко А. Н. Гильбертовы пространства функций, гармонических вне сферы Бырхамара, и глобальная ковариационная функция аномального поля. — Деп. УкрНИИНТИ, 1983, № 293Ук-Д83. 4. Нейман Ю. М. Вариационный метод физической геодезии. — М.: Недра, 1979. 5. Jekeli C. An investigation of two models for the degree variances of global covariance functions. — Columbus, Dept. of Geod. Sci., Ohio State Univ., 1978, Report № 275. 6. Krarup T. A contribution to the mathematical foundation of physical geodesy. — Copenhagen, Danish Geod. Inst., 1969, Publ. № 44. 7. Meissl P. A study of covariance functions related to the Earth's disturbing potential. — Columbus, Dept. of Geod. Sci., Ohio State Univ., 1971, Report № 151. 8. Moritz H. Advanced physical geodesy. Wichmann, 1980. 9. Rapp R. Potential coefficient determinations from  $5^\circ$  terrestrial gravity data. — Columbus, Dept. of Geod. Sci., Ohio State Univ., 1977, Report № 251. 10. Tscherning C. C. Representation of Covariance functions related to the anomaly potential of the Earth using reproducing Kernels. — Copenhagen, Danish Geod. Inst., 1972, Internal Report № 3. 11. Tscherning C. C., Rapp R. Closed covariance expressions for gravity anomalies, geoid undulations and deflections of the vertical implied by anomaly degree variance models. — Columbus, Depth. of Geod. Sci., Ohio State Univ., 1974, Report № 208.

